

**Государственный комитет Российской Федерации по высшему образованию**

**САНКТ-ПЕТЕРБУРГСКИЙ ГОСУДАРСТВЕННЫЙ ТЕХНИЧЕСКИЙ  
УНИВЕРСИТЕТ**

---

**КАФЕДРА ГИДРОАЭРОДИНАМИКИ**

**ГАЗОВАЯ ДИНАМИКА**

***МЕТОД ИНТЕРФЕРОМЕТРА***

**МЕТОДИЧЕСКИЕ УКАЗАНИЯ  
К ЛАБОРАТОРНЫМ РАБОТАМ**

**САНКТ-ПЕТЕРБУРГ  
1996**

на японский язы.  
и изучение японского языка и философии  
и культуры японии  
и японской культуры в японии.

31.10.96

А. Тернит  
С. С. Капел

Государственный комитет Российской Федерации  
по высшему образованию

САНКТ-ПЕТЕРБУРГСКИЙ ГОСУДАРСТВЕННЫЙ ТЕХНИЧЕСКИЙ УНИВЕРСИТЕТ

---

Кафедра гидроаэродинамики

ГАЗОВАЯ ДИНАМИКА

Метод интерферометра

Методические указания  
к лабораторным работам .

Санкт-Петербург  
1996

Составители: В.В.Григорьев, С.Н.Исаков, Р.Л.Петров  
УДК 532; 533

**Газовая динамика. Метод интерферометра:** Метод. указания к лабораторным работам / Сост.: В.В.Григорьев, С.Н.Исаков, Р.Л.Петров. СПб. гос. техн. ун-т; СПб., 1996. 38с.

Рассмотрены программы двух лабораторных работ с целью практического освоения метода интерферометра в газодинамическом эксперименте, а также изучения важнейших свойств сверхзвуковых свободных струйных течений и течений с областями отрыва потока вблизи непроницаемых поверхностей.

Приведено описание импульсной газодинамической установки, позволяющей получать кратковременные плоские установившиеся сверхзвуковые течения, рассмотрена оптическая схема интерферометра Маха-Цендера. Изложена методика обработки экспериментальных данных, определена форма отчетности.

Предназначены для студентов, выполняющих лабораторные работы по курсам "Газовая динамика", "Динамика вязкой жидкости и газа".

Табл.1, Ил.11, Библиогр.: 13 назв.

## ВВЕДЕНИЕ

В аэродинамическом эксперименте оптические методы исследования играют весьма важную роль. Оптические методы имеют высокую чувствительность, высокую разрешающую способность, практически безинерционны и не вносят возмущений в исследуемую среду. Они позволяют получать качественные и количественные данные о стационарных и нестационарных процессах в прозрачных средах, движущихся как с малой дозвуковой, так и с большой сверхзвуковой скоростью.

В наибольшей степени разработаны и получили широкое распространение теневые и интерферометрические методы исследования прозрачных неоднородностей [1-3].

Методические указания имеют целью познакомить студентов с возможностями метода интерферометра на примере исследования плоских сверхзвуковых струйных течений. Интерферограммы таких течений позволяют получить весьма существенную качественную и количественную информацию, и в то же время их расшифровка не вызывает особых затруднений.

### 1. ОПИСАНИЕ ЭКСПЕРИМЕНТАЛЬНОЙ УСТАНОВКИ, ПОРЯДОК РАБОТЫ НА УСТАНОВКЕ, ПРОГРАММА ЭКСПЕРИМЕНТА

Основная цель двух лабораторных работ, объединенных общей темой, но имеющих различные объекты исследования - освоить метод интерферометра на примере исследования плоских сверхзвуковых газодинамических течений.

Лабораторные работы выполняют на импульсной газодинамической установке, оснащенной интерферометром Маха-Цандера.

Основной элемент установки - труба Людвигта (рис.1.1) с каме-

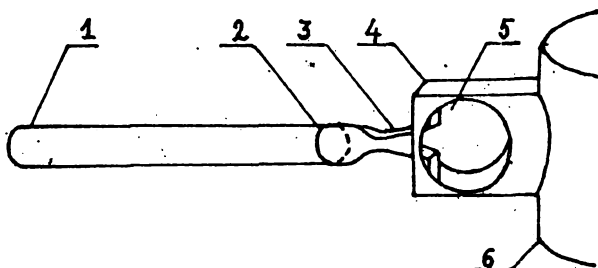


Рис.1.1

рой высокого давления круглого поперечного сечения и подсоединенны к камере плоским соплом Лаваля 3. Камеру отделяет от сопла диафрагма или быстродействующий клапан 2. Дозвуковой участок сопла Лаваля плавно сопрягает круглое поперечное сечение камеры с прямоугольным критическим сечением сопла. Далее плавный контур сопрягает критическое сечение с клиновидной сверхзвуковой частью сопла Лаваля.

Камеру 1 заполняют сжатым до давления  $p_0$  газом. При разрыве диафрагмы или запуске быстродействующего клапана сжатый газ устремляется в сопло Лаваля и далее в канал 4 прямоугольного поперечного сечения. Высота канала (0,3 м) многократно превышает высоту сечения выхода сопла Лаваля, а ширина равна ширине сопла Лаваля. Канал 4 выходит в ресивер 6 объемом 5 куб.м. Ресивер, канал 4 и сопло Лаваля можно предварительно вакуумировать. При пуске установки за срезом сопла возникает вначале нестационарное, а затем в течение 15-10 мс существует плоское установившееся струйное течение. В боковых стенках канала 4 закреплены заподлицо с внутренней поверхностью оптические защитные стекла 5 диаметром 220 мм, позволяющие наблюдать газовые неоднородности внутри канала.

При разрыве диафрагмы или пуске быстродействующего клапана одновременно с истечением газа в сопло возникает волна разрежения, движущаяся к торцу камеры высокого давления. Волна разрежения отражается от торца камеры, достигает сопла и превращает установившееся течение в нестационарное. Волна разрежения не только ограничивает рабочее время установки, но и изменяет первоначальные параметры торможения вытекающего из сопла газа. Последнее обстоятельство должно быть учтено при обработке экспериментальных данных.

Основные газодинамические и геометрические параметры импульсной установки таковы:

истекающий из сопла газ - воздух ( $\kappa = C_p / C_v = 1,4$ );

давление  $p_0$  в камере высокого давления -  $4 \cdot 10^5 \dots 10^6$  Па;

давление  $p_\infty$  в покоящемся газе -  $10^3 \dots 10^5$  Па;

температура  $T_0 = T_\infty$  - комнатная (290 К);

внутренний диаметр камеры  $d_k$  - 59 мм;

длина камеры  $L_k$  - 3,5 м;

высота критического сечения сопла  $2h_k$  - 10 мм;

высота сечения выхода клиновидного сопла  $2h_a$  - 17,3 мм;

ширина сопла и подсоединененного к соплу канала - 70 мм;

число  $M_a$  (скоростной коэффициент  $\lambda_a$ ) потока на выходе клиновидного сопла - 2,03, (1,6465);

относительное давление  $p_a/p_0$ , плотность  $\rho_a/\rho_0$  и температура  $T_a/T_0$  соответственно - 0,1220, 0,2225, 0,5482.

Блок-схема системы измерений и схема газовой системы установки приведена на рис. 1.2, где отмечены также и основные элементы конструкции установки: камера высокого давления 1, быстродействующий клапан 8, переходная секция 10, сверхзвуковое сопло 11, прямоугольный канал 12 с оптическими стеклами 13, вакуумируемый ресивер 25.

Газовая система высокого давления установки подключена к лабораторной линии ВВД (воздуха высокого давления), отсекаемой от установки вентилем 2. За вентилем следует фильтр 3, вентили 4 и 5, манометры 6 и 7. Камеру высокого давления 1 заполняют через быстродействующий клапан 8. Избыточное давление в камере контролируют по показаниям манометра 7, давление в линии ВВД - по показаниям манометра 6.

Вакуумный насос 29 позволяет создавать разжение в ресивере 25, в канале 12, внутри сопла 11 и в переходной секции 10. Ресивер отсекают от вакуумного насоса вентилем 27. Открывая вентили 27 и 28, заполняют ресивер атмосферным воздухом. Остаточное давление в ресивере измеряют вакуумметром 26.

Основные элементы оптической системы - интерферометр 21, коллиматор 20, приемная часть 22 с поворотным зеркалом 24. Источником света служит рубиновый лазер (оптический квантовый генератор ОКГ-20) 18, электрически связанный с блоком управления 32. Система фотографирования оптических неоднородностей включает также фотоаппарат 23 с соленоидом, линию задержки 36 и осциллограф 31.

Система измерения нестационарных давлений включает пьезоэлектрические датчики 14, 15, 16, 17, усилители, усилители-формирователи, истоковые повторители, блоки питания, запоминающие осциллографы 30, 31.

Подготовку к эксперименту и пуск установки выполняют в такой последовательности:

1. Открывают вентили 2 и 4 системы воздуха высокого давления, плавно открывают вентиль 5 и заполняют камеру высокого давления 1 воздухом, измеряя избыточное давление манометром 7. При достижении заданного давления  $p_0$  (4·10<sup>5</sup>...10<sup>6</sup> Па) закрывают вентиль 5

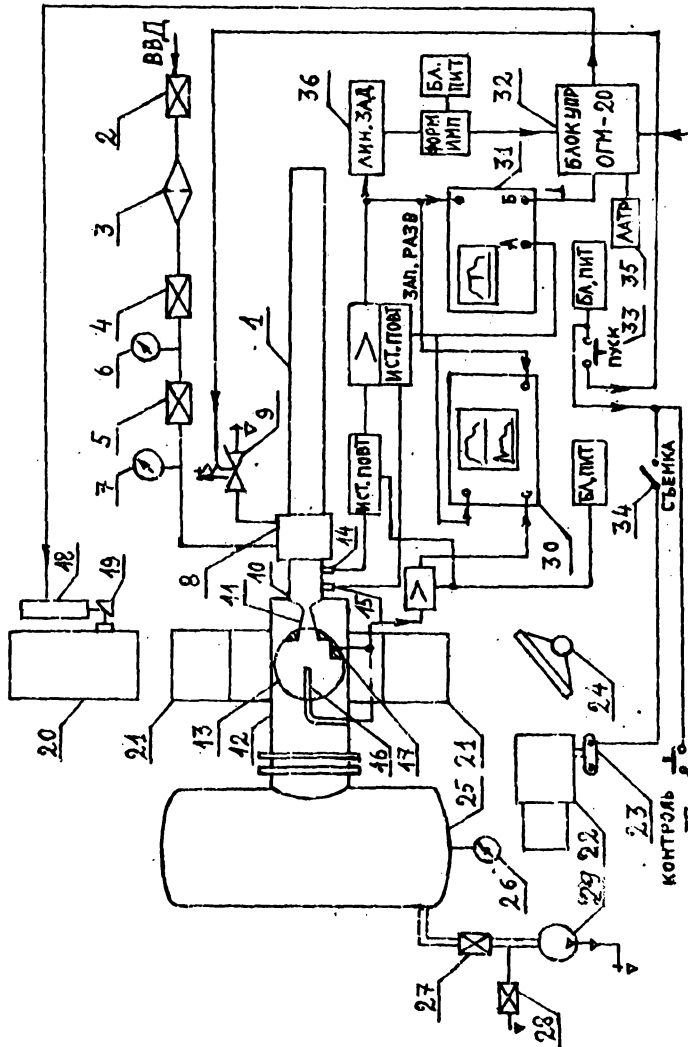


Рис. 1:2

2. Включают вакуумный насос 29, открывают вентиль 27 и откачивают ресивер и соединенные с ним каналы до заданного давления  $p_{\infty}^{3..5}$  (10...10 Па)

3. Подготавливают к работе систему регистрации нестационарных давлений и оптическую систему. Для этого включают блоки питания, осциллографы 30, 31, линию задержки 36, усилители-формирователи, блок управления 32, повышают напряжение выхода автотрансформатора 35 в цепи питания импульсной лампы накачки рубинового стержня до 120-130 вольт.

Подготавливают к работе в ждущем режиме запоминающие осциллографы 30, 31, выбирая оптимальные длительности развертки и чувствительности усилителей вертикального отклонения лучей. На линии задержки 36 устанавливают время задержки  $t_{зад} \approx 0,6 t_{рас}$  момента фотографирования течения относительно начала истечения газа из камеры 1, исходя из оценки рабочего времени  $t_{рас} \approx 2L_*/v_0 \approx 2 \cdot 10^{-2}$  с. Инициируют развертки лучей осциллографов при отсутствии возмущающих сигналов (нулевые линии).

Вводят затвор фотоаппарата 23 и устанавливают режим работы затвора с длительной выдержкой. Проверяют готовность лазера к работе нажатием кнопки 37.

4. Перед пуском установки уточняют и записывают в протокол показания манометра 7 и вакуумметра 26. По показанию прибора на блоке управления 32 лазером убеждаются в наличии напряжения на импульсной лампе, смонтированной в оптической головке 18 лазера, проверяют готовность осциллографов к регистрации однократных сигналов, открывают затвор фотоаппарата 23 вручную или включив тумблер 34 и подав напряжение на соленоид фотоаппарата.

5. Запускают установку, нажимая кнопку 33 в сети питания электрического клапана 9. Истечение газа из полости под подвижным колпаком быстродействующего клапана через клапан 9 приводит к смещению колпака и истечению из камеры 1 скатого газа в сопло и далее в ресивер. При повышении давления газа в полости 10 пьезодатчик 14 генерирует электрический сигнал, который усиливается, преобразуется в усилитель-формирователь и запускает развертки осциллографов 30, 31. Этот же сигнал поступает на вход электронной линии задержки 36. Задержанный сигнал поступает на вход усилителя-формирователя, электрически связанного с блоком управления 32 лазером. Блок управления формирует электрический сигнал,

инициирующий мощное кратковременное излучение из рубинового стержня в оптической головке 18 лазера. Пьезодатчик 14, установленный перед соплом, генерирует электрический сигнал, пропорциональный изменению давления газа, которое с учетом начального давления в ресивере можно считать давлением торможения газа перед соплом. Сигнал поступает на вход истокового повторителя, далее на вход одного из каналов двухлучевого запоминающего осциллографа 30 и на один из входов запоминающего осциллографа 31 с дифференциальным входом. Второй вход дифференциального усилителя электрически связан с разъемом блока управления лазером, где формируется кратковременный электрический сигнал при вспышке лазера. Этот сигнал накладывается на сигнал датчика 15 и служит временной меткой момента фотографирования.

Второй канал двухлучевого осциллографа 30 воспринимает усиленные сигналы датчика полного давления 16 в сверхзвуковом потоке или датчика 17 давления в донной области за срезом сопла.

Эксперимент завершают следующими операциями.

6. Выключают тумблер 34 в цепи питания соленоида фотоаппарата и перематывают фотопленку, подготовливая фотоаппарат к следующему эксперименту.

7. Перерисовывают на прозрачную бумагу с осциллографической сеткой осциллограммы сигналов пьезодатчиков, отметив и нулевые развертки.

## 2. МЕТОД ИНТЕРФЕРОМЕТРИИ

Интерферометрический метод исследования прозрачных газовых неоднородностей основан на явлении интерференции двух когерентных лучей света и на зависимости интерференционной картины от распределения плотности в исследуемой неоднородности.

Рассмотрим явление интерференции в монохроматическом свете безотносительно к типу интерферометра на примере наглядной схемы [4] (рис.2.1).

Пусть  $P_1$  и  $P_2$  - источники когерентного (с постоянной разностью фаз) светового излучения, причем разность фаз излучателей примем равной нулю. Электромагнитные световые волны от источников интерферируют между собой. Для наблюдения интерференции выбрана плоскость С. Точка А (центр поля) - основание перпендикуляра, проведенного из середины отрезка  $P_1P_2$  к плоскости С. При интерференции, как известно, не имеет места простое сложение интенсивностей освещенностей. На плоскости интерференции возникает интерференция

онная картина с равномерной освещенностью, имеющая вид чередующихся светлых и темных полос со светлой полосой в центре (рис. 2.1, а).

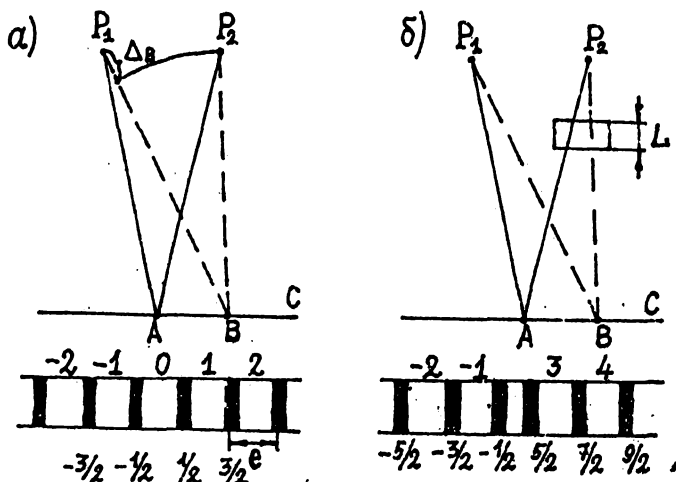


Рис. 2.1.

Интенсивность освещенности любой точки плоскости зависит от разности фаз электромагнитных колебаний, приходящих в выбранную точку от источников света  $P_1$  и  $P_2$ . Разность фаз возникает вследствие разной оптической длины путей или разности хода лучей, исходящих из разных источников и приходящих в одну точку.

Освещенность будет максимальной в тех точках поля С, где разность фаз  $\Delta\varphi$  кратна  $2\pi$ , а разность хода  $\Delta$  равна  $\lambda N_{\max}$ . Здесь  $\lambda$  — длина волны света,  $N_{\max} = 0, \pm 1, \pm 2, \dots$ . Минимальная освещенность будет там, где значение  $\Delta\varphi$  кратно  $\pi$ ,  $N_{\min} = \pm 1/2, \pm 3/2, \dots$ . Чтобы найти разность хода для некоторой точки В, например, справа от точки А, достаточно провести дугу окружности с центром в точке В радиусом  $P_2B$  до пересечения с лучом  $P_2B$ . Тогда отрезок луча  $\Delta_B$  и будет разностью хода для точки В. Если отрезок  $\Delta_B$  кратен длине волны, имеем максимальную освещенность, если кратен полуволне — освещенность минимальна.

Для точки А разность хода равна нулю и освещенность там максимальна. По мере удаления точки В от точки А вправо или влево разность хода будет увеличиваться, причем  $|N_{\max}|$  и  $|N_{\min}|$  будут

принимать все большие значения. Пронумеруем полосы, присвоив светлой полосе в точке А нулевой номер. Тогда светлые полосы будут иметь целые номера, равные  $N_{\max}$ , а темные - дробные номера, равные  $N_{\min}$ . Форма и частота полос на сферической поверхности с центром в средней точке отрезка  $P_1P_2$  зависит от ориентации интерференционной поверхности относительно отрезка  $P_1P_2$ . В направлении, перпендикулярном  $P_1P_2$ , полосы можно считать параллельными равноотстоящими друг от друга, частота их максимальна. В направлении  $P_1P_2$  полосы имеют форму концентрических окружностей, частота их минимальна. В произвольном направлении полосы искривлены [4].

Будем считать, что лучи света от источников  $P_1$  и  $P_2$  распространяются в вакууме. Поместим на пути луча, выходящего, например, из точки  $P_2$  (рис.2.1,б), камеру длиной  $L$ , наполненную газом с показателем преломления  $n$ . При этом правая половина интерференционной картины сместится без искажения влево на некоторое расстояние  $H$ . Изменение  $\Delta N$  номера полосы в точке В интерференционного поля будет  $\Delta N = H/e$ , где  $e$  - интервал между соседними полосами. Номер полосы в точке А станет равным  $\Delta N$ .

Смещение интерференционной картины произойдет вследствие изменения разности хода двух интерферирующих лучей. Скорость света в газе зависит от показателя преломления по следующим образом:  $c = c_0/n$ , где  $c_0$  - скорость света в вакууме.

Разность хода  $\Delta_A$  двух лучей в точке А равна  $c_0 \Delta t$ , где  $\Delta t$  - запаздывание луча света, движущегося в газе с показателем преломления  $n$ , по отношению к времени движения луча в вакууме  $/n_{\text{вак}} = 1$ . Тогда

$$\Delta t = L/c_0 - L/c, \quad (2.1).$$

Поскольку  $\Delta_A = c_0 \Delta t = \lambda_0 \Delta N$ , где  $\lambda_0$  - длина волны света в вакууме, то

$$\Delta N = \frac{n-1}{\lambda_0} L, \quad (2.2)$$

причем изменение номера интерференционной полосы одинаково для любой точки восмущенной области интерференционного поля. Итак, зная изменение номера интерференционной полосы в некоторой точке интерференционного поля, вызванное появлением оптической неоднородности, можно определить показатель преломления  $n$  в газе.

В реальных оптических системах невосмущенные лучи света распространяются не в вакууме, а в газе с показателем преломления  $n_1$ , чаще всего в атмосферном воздухе. В этом случае имеем

$$\Delta N = \frac{n-n_1}{\lambda_*} L \quad (2.3)$$

Таким образом, метод интерферометра позволяет непосредственно измерять изменение показателя преломления, вызванное появлением оптической неоднородности. Чувствительность метода прямо пропорциональна отношению  $L/\lambda_*$ .

В газодинамических исследованиях необходимо связать показатель преломления  $n$  с плотностью газа  $\rho$ . Для газов справедлива формула Гладстона-Дейла

$$\frac{n-1}{\rho} = K, \quad (2.4)$$

где  $K$  – зависит от молекулярного состава газа, но для определенного газа сохраняет постоянное значение в широком диапазоне температур и давлений. Формулу Гладстона-Дейла можно записать в виде

$$\frac{n-1}{\rho} = \frac{n_n - 1}{\rho_n} = K, \quad (2.5)$$

где индексом  $n$  отмечены параметры при нормальных условиях (температуре  $T_n = 273,15$  К, давлении  $p_n = p_a = 1,013 \cdot 10^5$  Н/м<sup>2</sup>).

Зависимость показателя преломления  $n$  от длины волны света  $\lambda$  определяют дисперсионной формулой Коши

$$n-1 = A(1+B/\lambda^2), \quad (2.6)$$

где  $A$  и  $B$  – константы. Для сухого воздуха при нормальных условиях  $A=28,71 \cdot 10^{-5}$ ,  $B=5,67 \cdot 10^{-15}$  м<sup>2</sup>.

Учесть влажность воздуха можно по формуле

$$\rho_{влажн} = \rho_{сух} - 4,1 \cdot 10^{-5} \frac{m}{1,013 \cdot 10^5}, \quad (2.7)$$

где  $m$  – парциальное давление водяного пара [Н/м<sup>2</sup>].

Согласно формуле (2.4)  $\rho - \rho_1 = (n-n_1)/K$ .

Из соотношения (2.3) получим  $n-n_1 = \Delta N \frac{\lambda_*}{L}$ .

Тогда

$$\rho - \rho_1 = \frac{\lambda_*}{LK} \Delta N = \frac{\lambda_*}{L} \frac{\rho_n}{n_n - 1} \cdot \Delta N \quad (2.8)$$

и относительное изменение плотности равно

$$\frac{\rho - \rho_1}{\rho_n} = \frac{\lambda_*}{L} \frac{1}{n_n - 1} \Delta N. \quad (2.9)$$

Длина волны излучения лазерного источника света на установке  $\lambda_* = 0,6943 \cdot 10^{-6}$  м, расстояние  $L$  между защитными стеклами 13 (см.).

рис.1.2) плоского канала равно 70 мм, для сухого воздуха  $\rho_{\infty} = 1,293$  кг/м<sup>3</sup>, при указанной длине волны  $\lambda = 29,05 \cdot 10^{-3}$  м. Тогда при начальной плотности  $\rho_1$  воздуха в канале относительное изменение плотности в любой точке возмущенного поля плотности, пропорциональное изменению номера полосы, равно

$$\frac{\rho - \rho_1}{\rho_{\infty}} = 3,414 \cdot 10^{-2} \Delta N. \quad (2.10)$$

Если  $\rho - \rho_1 = \rho_{\infty}$ , то  $\Delta N = 29,3$ . При произвольном изменении плотности

$$\rho - \rho_1 = 4,414 \cdot 10^{-2} \Delta N, \quad (\text{кг/м}^3). \quad (2.11)$$

Таким образом, в плоском случае измерение плотности в некоторой точке возмущенной среды сводится к определению изменения номера интерференционной полосы в этой точке.

В случае пространственных течений расшифровка интерферограмм оказывается весьма сложной задачей [3].

#### ИНТЕРФЕРОМЕТР МАХА-ЦЕНДЕРА

Установка оснащена интерферометром ИТ-14, сконструированным по принципу интерферометра Маха-Цендера. Оптическая схема интерферометра приведена на рис.2.2.

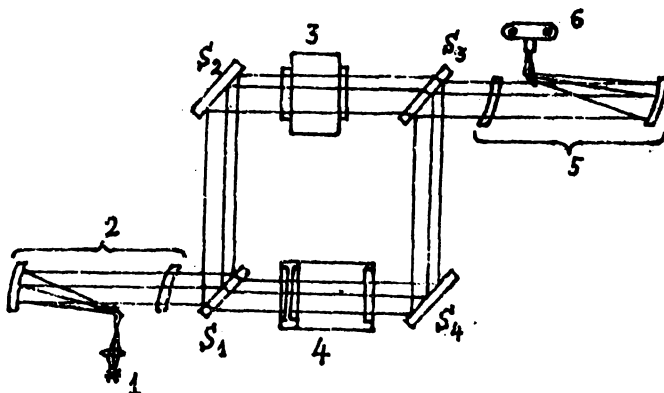


Рис. 2.2

Основные элементы интерферометра - четыре плоскопараллельных зеркала  $S_1 \dots S_4$ . На поверхности зеркал  $S_2$ ,  $S_4$  нанесены отражающие свет покрытия, зеркала  $S_1$  и  $S_3$  - полуупрозрачные. Источник света 1 помещен в фокусе сферического зеркала коллиматора 2, так что из коллиматора выходит параллельный пучок лучей и на зеркале  $S_1$  разделяется на два пучка. Отраженный от зеркала  $S_1$  пучок меняет направление на  $90^\circ$  на зеркале  $S_2$ , проходит сквозь рабочую камеру 3 с защитными стеклами и преломляется на зеркале  $S_3$ . Преломленный на зеркале  $S_1$  пучок света проходит компенсатор 4 с клиновидными стеклами, позволяющими изменять оптическую длину хода лучей, отражается от зеркал  $S_4$ ,  $S_3$  и интерферирует с пучком света, возмущенным в рабочей камере. Интерферирующий пучок света попадает в приемную трубу 5, отражается от сферического зеркала, от малого диагонального зеркала, меняя направление на  $90^\circ$ . Линзовая оптическая система, сфокусированная на среднюю плоскость рабочей камеры, строит четкое изображение этой плоскости на экране, в частности, на пленке фотоаппарата, где наблюдается и интерференционная картина.

Зеркала  $S_1 \dots S_4$  и оптические элементы компенсатора смонтированы в жестком корпусе, имеющем  $\square$ -образную форму. Оправы зеркал связаны с прецизионными электромеханическими приводами, позволяющими изменять наклон зеркал относительно вертикальной и горизонтальной осей. Корпуса интерферометра, коллиматора и приемной трубы вывешены на амортизаторах. Настройку интерферометра с монохроматическим источником света длиной волны  $\lambda$  можно выполнить в двух вариантах. Один метод состоит в получении в плоскости интерференции картины с весьма большим расстоянием между интерференционными полосами, в пределе с бесконечно широкой полосой, когда поле интерференции имеет равномерную освещенность. Такая картина может быть получена при строгой взаимной параллельности зеркал  $S_1 \dots S_4$ . Появление возмущений в рабочей камере приводит к возникновению интерференционных полос, которые являются кривыми постоянной плотности. Метод дает весьма наглядные результаты, но требует высококачественной оптики и сложен в расшифровке, в определении номеров полос.

Второй метод, метод сдвига полос состоит в том, что отклоняя зеркало  $S_1$  на малый угол  $\epsilon$  от положения, соответствующего первому варианту, получают в плоскости интерференции равноотстоящие параллельные интерференционные полосы. Для того, чтобы плоскость локализации интерференционных полос сохранить в середине рабочей каме-

ры, приходится изменять также наклон зеркала  $S_3$ . Расстояние между полосами прямо пропорционально длине волны  $\lambda$  и обратно пропорционально углу  $\varepsilon$ . Полосы могут быть ориентированы в плоскости наблюдения произвольно. Выбор начального положения полос зависит от условий эксперимента. Вращение зеркал  $S_1$  и  $S_3$  относительно горизонтальной оси приводит к интерференционной картине, где полосы перпендикулярны плоскости чертежа. Вращение тех же зеркал относительно вертикальной оси позволяет получить интерференционные полосы, параллельные плоскости чертежа. Выбор расстояния между полосами или числа полос в поле зрения при настройке зависит от ряда факторов: чувствительности интерферометра (см. формулу 2.9), ожидаемого максимального и среднего изменения плотности в рабочей камере, допустимой погрешности измерения плотности, разрешающей способности фотоматериалов, контрастности полос.

### 3. ЛАБОРАТОРНАЯ РАБОТА I. ИССЛЕДОВАНИЕ НАЧАЛЬНОГО УЧАСТКА ПЛОСКОЙ НЕРАСЧЕТНОЙ СВОБОДНОЙ СВЕРХЗВУКОВОЙ СТРУИ

Цель работы - освоить практический метод интерферометра, приобрести знания структуры и основных свойств плоских сверхзвуковых струй, научиться простым приближенным методам расчета свободных струйных течений, а также экономичным методам создания и исследования сверхзвуковых течений с большим расходом газа.

#### 3.1. Особенности сверхзвуковых струйных течений

Одним из основных параметров для струи, истекающей из сопла в среду с известными свойствами, является параметр нерасчетности  $n = p_s/p_\infty$ , равный отношению давления  $p_s$  на срезе сопла к давлению  $p_\infty$  в окружающей среде. Струи, для которых  $n > 1$ , называют недорасширенными, при  $n < 1$  - перерасширенными и при  $n=1$  - расчетными.

Структура плоской сверхзвуковой струи на начальном участке в основном совпадает со структурой хорошо изученной осесимметричной струи [6], [16], [7]. На рис. 3.1 приведена схема течения недорасширенной плоской струи. Сплошными линиями отмечены возмущения для идеального газа, штрих-пунктиром - границы вязких течений, штриховыми линиями - поверхности разрыва касательных составляющих вектора скорости, т.н. тангенциальные разрывы.

В идеальном газе граница струи АВ является линией тока, вдоль которой давление неизменно и равно давлению в неподвижной среде. Область I - невозмущенная область течения, продолжение течения в

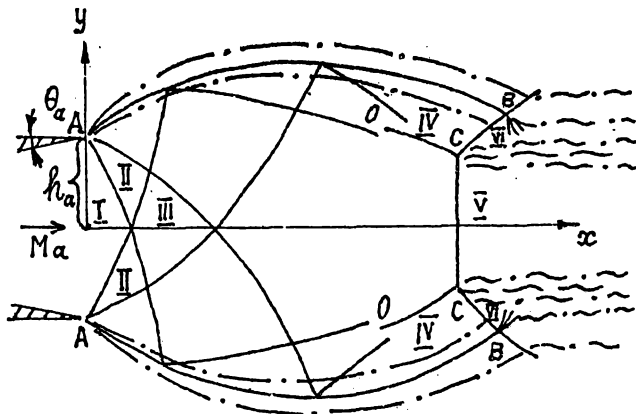


Рис. 3.1

канале, область II – центрированная волна разрежения. Взаимодействие волн разрежения с границей струи АВ приводит к искривлению границы, возникновению волн сжатия, которые могут сформировать висячий скачок уплотнения ОС. При малой нерасчетности скачки ОС могут взаимодействовать на оси симметрии струи. При большой нерасчетности и числах  $M$ , близких к 1, скачки ОС взаимодействуют с образованием третьего скачка СС – скачка Маха, перпендикулярного к оси симметрии потока. Скачки Маха в плоских струях образуются в меньшем диапазоне изменений параметров  $p$  и  $M$  и расположены дальше от среза сопла, чем в осесимметричных струях.

В точках С сходятся три скачка: висячий скачок ОС, скачок Маха СС и отраженный скачок СВ. При взаимодействии скачка СВ со свободной границей АВ возникает отраженная от границы волна разрежения, свободная поверхность за точкой В вновь расширяется.

Течение в области II волн разрежения и в области III взаимодействия волн разрежения не зависит от давления  $p_{\infty}$ .

Течение в области IV за висячим скачком неизентропическое, линии тока искривлены, но резких изменений давления в этой области нет. Область V газа, прошедшего через скачок Маха, отделена от

области VI газа, промежуточного скачки ОС и СВ, стационарным сильным разрывом - линией тока. Вектор скорости в областях V и VI образует малые углы с осью  $x$ . В областях II, III число  $M$  велико и плотность мала. В области V течение дозвуковое, давление близко к  $p_\infty$ .

Истечение перерасширенных струй отличается от вышеописанного тем, что за срезом сопла вместо волны разрежения образуется косой скачок уплотнения AB, сходящий с кромки A сопла (рис.3.2). Плотность газа за скачком возрастает, скорость уменьшается незначительно, так что линии тока не расходятся, как при  $\gamma > 1$ , а сходятся к оси симметрии.

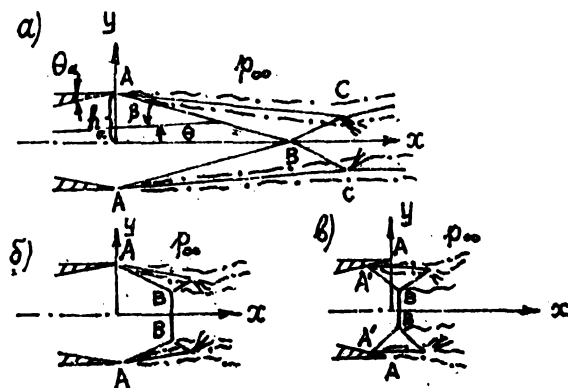


Рис.3.2

При малой интенсивности косых скачков AB (рис.3.2,а) возникают слабые косые скачки BC. Увеличение нерасчетности, т.е. уменьшение числа  $\gamma$  может приводить, как и в случае недорасширенной струи, к появлению скачка Маха BB (рис.3.2,б). Дальнейшее уменьшение параметра нерасчетности сопровождается перемещением основания косых скачков внутрь сопла (рис.3.2,в) и отрывом потока от стенок сопла.

Картина течения реальной струи на начальном участке отличается от изображенной на рис.3.1, 3.2 модели течения идеального газа в первую очередь наличием свободных граничных слоев - слоев смешения покоящегося в движущемся газов. Границы слоев смешения от-

мечены на рис.3.1, 3.2 штрих-пунктирными линиями. Влияние вязких эффектов на течение в струе может быть весьма существенным. При больших числах  $M$  и режимах течения, близких к расчетным слои смешения смыкаются на небольших расстояниях от сопла и скачок Маха не возникает. Степень влияния вязких эффектов на области потенциального течения зависит от режимов течения в слоях смешения.

Режим течения в слое смешения зависит от числа Рейнольдса  $Re_L$   
 $Re_L = \frac{Re_*}{\pi}$ , где  $Re_* = \frac{\rho_* u_* h_*}{\mu_*}$ ,  $h_*$  - высота критического сечения сопла. Принято различать следующие режимы течения в слое смешения [5, С.108-109].

1. При  $Re_L > 10^4$  течение турбулентное. Толщина слоя смешения растет линейно с увеличением расстояния от среза сопла. Характеристики струи не зависят от  $Re_L$ .

2. При  $10^3 < Re_L < 10^4$  в слое смешения происходит переход от ламинарного к турбулентному режиму течения.

3. При  $10^2 < Re_L < 10^3$  течение в слое смешения ламинарное. Уменьшение числа  $Re_L$  в этом диапазоне приводит к утолщению слоя смешения.

4. При  $Re_L < 10^2$  на картину течения влияют эффекты разреженности. Скачки уплотнения размыкаются, увеличивается диффузия молекул газа затопленного пространства внутрь струи.

### 3.2. Расчет начального участка сверхзвуковой струи идеального газа

Приближенный расчет начального участка сверхзвуковой струи может быть выполнен на основе модели идеального газа.

Недорасширенная струя. Воспользуемся теорией, изложенной в работе [8] и основанной на использовании уравнения сохранения массы, уравнения количества движения и уравнения сохранения энергии для идеального газа. Уравнения связывают осредненные по сечению газодинамические переменные в сечении на срезе сопла и в произвольном сечении струи при наличии поперечной к оси симметрии составляющей вектора скорости и имеют вид [8, с.237, с.255, с.407, с.409]

$$q(\lambda, d) = \frac{1}{\delta_{\lambda}^{k-1}} q(\lambda_a, d_a), \quad (3.1)$$

$$Z(\lambda, d) = Z(\lambda_a, d_a) + \left( \frac{k+1}{2} \right)^{\frac{f-1}{k-1}} \frac{1}{\pi_0 q(\lambda_a, d_a)}, \quad (3.2)$$

где

$$q(\lambda, \alpha) = q(\lambda) \cdot \cos \alpha, \quad (3.3)$$

$$q(\lambda) = \left( \frac{k+1}{2} \right)^{\frac{1}{k-1}} \lambda \left[ 1 - \frac{k-1}{k+1} \lambda^2 \right]^{\frac{1}{k-1}}, \quad (3.4)$$

$$Z(\lambda, \alpha) = \frac{1}{\cos \alpha} \left[ \left( \frac{2k}{k+1} \cdot \cos^2 \alpha - \frac{k-1}{k+1} \right) \lambda + \frac{1}{\lambda} \right], \quad (3.5)$$

$\lambda = v/a$  - скоростной коэффициент, равный отношению модуля вектора скорости к критической скорости звука;

$\alpha$  - средний по сечению угол наклона вектора скорости по отношению к оси симметрии сопла;

$f = A/A_a$  - отношение площади поперечного сечения струи к площади поперечного сечения среза сопла;

$b = p_0/p_{\infty}$  - коэффициент сохранения полного давления в струе, оценивающей суммарные потери полного давления на участке от среза до выбранного сечения струи и в нашем случае равный единице ( $b=1$ );

$\Pi_0 = \frac{p_{0a}}{p_{\infty}}$  - отношение полного давления на срезе сопла, равного полному давлению  $p_0$  перед соплом, к давлению в невозмущенной среде.

Уравнение сохранения энергии приводит к условию неизменности температуры торможения в струе.

Теория позволяет определить изменение  $\lambda$  и других газодинамических величин вдоль оси симметрии струи, а также найти форму струи на начальном участке. Однако условие равенства давления  $P_{gr}$  на границе струи давлению  $p_{\infty}$  в невозмущенной среде для найденных  $\lambda$  не выполняется.

Для плоского течения  $A/A_a = Y_{gr}/h_a$ , с учетом неоднородности потока примем  $\alpha = 0,6 f_{gr}$ , где индексом "гр" отмечены координата и угол наклона вектора скорости на границе струи.

Расчет следует начинать с определения максимального сечения струи. Для этого полагают в уравнениях (3.1), (3.2)  $\alpha=0$  и из совместного решения этих уравнений находят  $f_{max}$ ,  $Y_{gr,max}$  и  $\lambda_{max}$ . Далее расчет выполняют в такой последовательности. Задают поперечные сечения струи, считая первым сечение среза сопла и полагая, каждое последующее сечение отстоящим от предыдущего на расстоянии одного калибра сопла ( $\Delta x = 2h_a$ , рис.3.3). В первом сечении на срезе сопла полагают  $\lambda_a = 1,6465$ ,  $\alpha_a = 1/2e_a = 5^\circ$ .

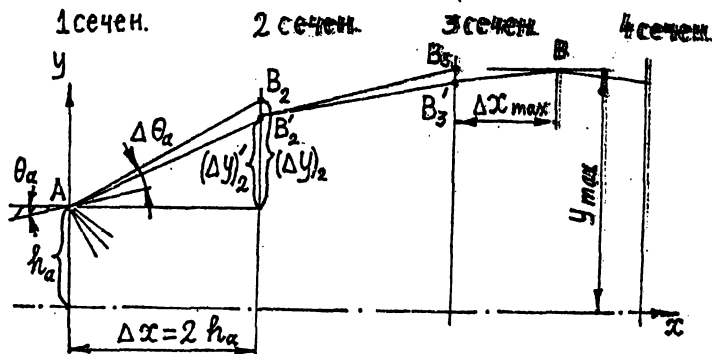


Рис 3.3

Определяют угол  $\Delta\theta_a$  разворота потока в волне разрежения Прандтля-Майера по таблицам [9, с.250] для известного  $M_a$ . Рассчитывают ординату  $Y_{B_2}$  точки пересечения касательной к границе струи в точке А со вторым поперечным сечением  $x=2h_a$ ,  $Y_{B_2}=h_a+2h_a \cdot \operatorname{tg}(\theta_a+\Delta\theta_a)$ . Подставив в уравнения (3.1), (3.2)  $f_{B_2}=Y_{B_2}/h_a=1+2\operatorname{tg}(\theta_a+\Delta\theta_a)$ , решают уравнения совместно и находят  $\lambda_{B_2}$  и  $\alpha_{B_2}$ . Уточняют ординату границы струи во втором сечении, считая границу струи на первом интервале отрезком прямой, наклоненной к оси  $x$  под углом  $\alpha_{1\text{гр}}=1/2(\theta_a+\Delta\theta_a+\frac{\alpha_{B_2}}{0,6})$ , так что

$Y_{B_2}=h_a+2h_a \cdot \operatorname{tg}\alpha_{1\text{гр}}$ . Задавшись в уравнениях (3.1), (3.2) значением  $f_{B_2}=Y_{B_2}/h_a$ , рассчитывают уточненные значения  $\alpha_{B_2}$  и  $\lambda_{B_2}$ . Для последующих "1" сечений расчетную процедуру повторяют, заменив в первом приближении угол  $\theta_a+\Delta\theta_a$  углом  $\alpha_{B_{i-1}}/0,6$ , а при уточнении полагая  $\alpha_{1\text{гр}}=\frac{1}{2}(\alpha_{B_i}+\alpha_{B_{i-1}})/0,6$ . При углах  $\alpha_{1\text{гр}}$  близких к нулю находят положение максимального сечения, считая  $x_{\max}=X_{B_i}+\Delta X_{\max}=X_{B_{i-1}}+(Y_{B_i}-Y_{B_{i-1}}) \frac{1}{\operatorname{tg}(\alpha_{B_i}/0,6)}$ ,  $\Delta X < 2h_a$ . Расчет выполняют для

5-6 сечений. Рассчитывают относительные и абсолютные газодинамические переменные на оси сопла по изэнтропическим формулам [9, с.111].

Расстояние  $x_{\text{сп}}$  от среза сопла до скачка Маха в недорасширенных струях можно оценить по формуле [10]

$$\frac{x_{cm}}{2h_a} = \frac{B}{j+1} \left( k M_a^{k-1} n \right)^{\frac{1}{j+1}} \left( k M_a \right)^{j-1}. \quad (3.6)$$

где  $B = 1,4$ ,  $j = 0$  и  $1$  соответственно для плоских и осесимметричных струй. Сопоставляя плоские и осесимметричные струи, отметим, что  $(x_{cm})_{\text{плоск}} / (x_{cm})_{\text{осесимм}} \sim \sqrt{n}$ , т.е. в плоских струях скачок Маха расположен от сопла гораздо дальше по сравнению с осесимметричными и наблюдается только для  $M_a >$  незначительно превышающих  $1$ .

Перерасширенная струя. При указанных в разделе 1 геометрических параметрах сопла и газодинамических параметрах торможения реализуется течение с регулярным взаимодействием косых скачков на оси симметрии течения (см.рис.3.2). Пусть известно число  $M_a$  сверхзвукового потока на выходе клиновидного сопла Лаваля и задан параметр нерасчетности  $n = p_a / p_\infty < 1$ . За срезом сопла возникает косой скачок уплотнения АВ такой интенсивности, что давление за скачком равно давлению  $p_\infty$  в невозмущенной среде.

Течение внутри и за срезом клиновидного сопла Лаваля до первого возмущения можно считать течением от источника, расположенного в геометрической вершине сопла. Тогда число  $M$  потока как функция расстояния  $\bar{x} = x/h_a$ , отсчитываемого от среза сопла, может быть определено из соотношения [9, с.II3]

$$1 + \bar{x} \operatorname{tg} \theta_a = \frac{M_a}{M} \left( \frac{1 + \frac{k-1}{2} \frac{M^2}{M_a^2}}{1 + \frac{k-1}{2} \frac{M^2}{M_a^2}} \right)^{\frac{2}{2(k-1)}} \quad (3.7)$$

Угол  $\beta$  наклона скачка по отношению к направлению набегающего потока определяют из соотношения для косого скачка уплотнения [9, с. 235-247]

$$\beta = \arcsin \sqrt{\left( \frac{1}{n} \cdot \frac{p_a}{p_\infty} + \frac{k-1}{k+1} \right) \cdot \frac{k+1}{2k}} \quad (3.8)$$

$$\text{где } \frac{p_a}{p_\infty} = \left( \frac{1 + \frac{k-1}{2} \frac{M^2}{M_a^2}}{1 + \frac{k-1}{2} \frac{M^2}{M_a^2}} \right)^{\frac{k}{k-1}} \quad (3.9)$$

Поскольку в течении типа источника давление вдоль косого скачка уплотнения от точки А уменьшается, отношение давлений  $p_\infty / p$  растет и угол  $\beta$  также увеличивается, т.е. скачок АВ оказывается криволинейным. Однако при умеренных углах  $\theta_a$  и числах  $M_a$ , как в нашем случае, скачок АВ можно считать прямолинейны, т.к. увеличи-  
20

ние угла  $\beta$  сопровождается уменьшением угла  $\theta$ , и угол наклона скачка относительно оси  $x$  изменяется незначительно. Тогда угол наклона скачка  $\beta$  будет равен  $\beta_a - \theta_a$ , где  $\beta_a$  рассчитывают по формуле (3.8), положив  $P = P_a$ ,  $M = M_a$ .

Приближенные методы расчета сверхзвуковых струй с учетом вязких эффектов, основанные на теории свободных пограничных слоев (слоев смешения), рассмотрены в работе [6, с. 46–60].

### 3.3. Правила подготовки к работе и программа экспериментов

При подготовке к лабораторной работе необходимо:

узнать цели работы;

ознакомиться с методом интерферометра, с оптической схемой интерферометра Маха–Цендера;

изучить описание экспериментальной установки и порядок работы на установке;

иметь представление об особенностях сверхзвуковых струйных течений и методах расчета таких течений;

ознакомиться с программой экспериментов и указаниями по обработке опытных данных;

получить инструкции по технике безопасности.

Программа экспериментов обеих лабораторных работ состоит в выполнении 5–6 однотипных экспериментов, причем начальное давление  $P_0$  в камере 1 (рис. 1.2) варьируют незначительно, а давление  $P_\infty$  в ресивере 25 в каждом последующем эксперименте удваивают за счет напуска атмосферного воздуха (при напуске вентили 27 и 28 открыты). Начинают опыты при давлении  $P_\infty = (2–6) \cdot 10^3$  Па, завершают при атмосферном давлении в ресивере.

Выполнив серию экспериментов согласно программе лабораторной работы, проявляют фотопленку и помечают кадры на ней в соответствии с протоколом.

### 3.4. Методика обработки экспериментальных данных

Первичными экспериментальными материалами в работе являются:

протокольные данные о начальных давлениях  $P_0$  и  $P_\infty$  в камере высокого давления и ресивере, геометрические и газодинамические характеристики камеры и сопла Лаваля (см. п. 1), данные о чувствительности пьезодатчиков, о чувствительности усилителей осциллографов и длительности разверток осциллографов;

осциллограммы сигналов пьезодатчиков, скопированные на прозрачную бумагу с экранов осциллографов;

нагатиры штетографограмм, содержащих информацию о распределении плотности на начальном участке сверхзвуковой струи.

Обработку экспериментальных данных начинают с определения давления торможения  $P_{0 \text{ эксп}}$  по осциллограмме сигнала пьезодатчика, установленного перед соплом Лаваля (рис.3.4, верхняя кривая).

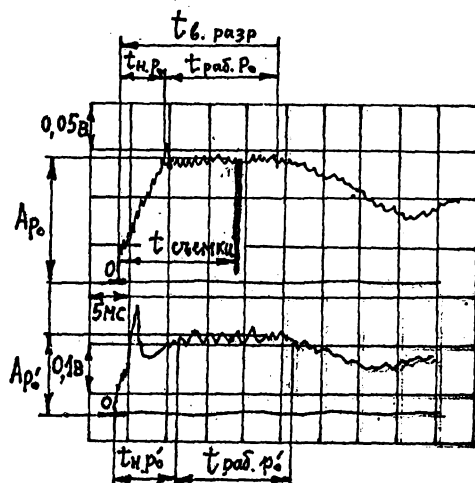


Рис.3.4

Измеряют в делениях шкалы амплитуду  $A_{p0}$  сигнала для момента фотографирования течения. Момент фотографирования отмечен на осциллограмме, скопированной с экрана осциллографа 31 с дифференциальным входом (рис.1.2), как момент появления кратковременного импульса отрицательной полярности (условно показан на рис.3.4 штриховой линией). Эта метка позволяет судить о том, является ли сфотографированное течение установившимся или в момент фотографирования оказывается нестационарным, а опыт неудачным, т.к. объект исследований – установившееся течение. Зная чувствительность  $K_{p0}$  [В/МПа] пьезодатчика и чувствительность усилителя  $K_{p0 \text{ осци}}$  [В/дел], осциллографа, рассчитывают давление  $P_{0 \text{ эксп}}$  по формуле:

$$P_{0 \text{ эксп}} = P_\infty + \frac{A_{p0} \cdot K_{p0 \text{ осци}}}{K_{p0}} \quad (3.10)$$

Давление  $P_{0 \text{ эксп}}$ , измеренное на стенке канала перед соплом, можно считать давлением торможения газа. Действительно, число  $M$

дозвукового потока на входе в сопло, определяемое отношением площади  $A_{\text{кам}}$  поперечного сечения камеры высокого давления к площади  $A_*$  критического сечения сопла составляет в нашем случае  $(A_{\text{кам}}/A_*) = 3,906$ ,  $k=1,4$   $M_{\infty} = 0,15$  [9, с. 114]. Давление торможения, найденное по изентропической формуле установившегося течения [9, с. 111], будет превышать давление в потоке всего на 1,5%.

Измеренное манометром избыточное по отношению к атмосферному давлению  $p_{\text{ом}}$ , сложенное с начальным атмосферным давлением в камере, будет заметно выше измеренного пьезодатчиком давления  $p_{0 \text{ эксп}}$ . Это различие обусловлено возникновением волны разрежения в камере высокого давления при пуске установки. Наличие нестационарной волны разрежения в камере влияет на параметры торможения газа не только при неустановившемся течении газа из сопла, но и в период установившегося течения, так как все частицы, достигнувшие сопла, ускорились в волне разрежения. Действительно, уравнение баланса энергии имеет вид  $\frac{d}{dt}(c_p T) = \frac{1}{2} \frac{dp}{dt}$  [9, с. 97], и для любой частицы начальные параметры торможения не сохраняются.

При определении давления торможения по данным манометрических измерений следует ввести эффективное давление торможения  $p_{0 \text{ эф}}$ , связанное с давлением  $p_{0 \text{ кам}}$ , измеренным манометром, следующим соотношением:

$$\frac{p_{0 \text{ эф}}}{p_{0 \text{ кам}} + p_{\text{ат}}} = \frac{\left(1 + \frac{k-1}{2} M_{\infty}^2\right)^{\frac{k}{k-1}}}{\left(1 + \frac{k-1}{2} M_{\infty}^2\right)^{\frac{2k}{k-1}}}, \quad (3.11)$$

где  $p_{\text{ат}}$  — атмосферное давление.

$$\text{В нашем случае для } k=1,4, \quad M_{\infty}=0,15 \quad \frac{p_{0 \text{ эф}}}{p_{0 \text{ кам}} + p_{\text{ат}}} = 0,826,$$

$$\frac{p_{0 \text{ эф}}}{T_c} \cdot \left( \frac{p_{0 \text{ эф}}}{p_{0 \text{ кам}} + p_{\text{ат}}} \right)^{1/k} - 0,872, \\ \frac{T_c}{T_{\text{атм}}} \cdot \left( \frac{p_{0 \text{ эф}}}{p_{0 \text{ кам}} + p_{\text{ат}}} \right) \cdot \left( \frac{p_{0 \text{ эф}}}{p_{0 \text{ кам}} + p_{\text{ат}}} \right)^{-1} - 0,947.$$

Найденное по экспериментальным данным значение отношения  $\frac{p_{0 \text{ эксп}}}{p_{0 \text{ кам}} + p_{\text{ат}}}$  следует сопоставить с приведенным выше значением и различие выражать в процентах.

$$\text{Если } \frac{p_{0 \text{ эксп}}}{p_{0 \text{ кам}} + p_{\text{ат}}} = 0,826, \text{ можно найти отношения } \frac{p_{0 \text{ эксп}}}{p_{0 \text{ кам}} + p_{\text{ат}}}, \quad \frac{p_{0 \text{ эксп}}}{T_{\text{атм}}},$$

определить параметры торможения  $p_{0 \text{ эксп}}^*$ ,  $T_{0 \text{ эксп}}^*$ , а для сопла с известным числом  $M_a$  рассчитать параметры  $p_a^*$ ,  $T_a^*$ ,  $u_a^*$  нарезе сопла.

На рис.3.4 (нижняя кривая) приведен пример осциллограммы сигнала датчика полного давления  $p_0^*$  за прямым скачком уплотнения в сверхзвуковом потоке, установленного на известном расстоянии от среза сопла. Давление  $p_0^*$  находят по формуле (3.10) с учетом соответствующих значений  $A_{p_0}$ ,  $K_{p_0 \text{ осц}}$ ,  $K_{p_0^*}$ . Отношение  $p_0^*/p_{0 \text{ эксп}}$  <<1 есть известная функция числа  $M$  потока [9, с.132] и характеризует потерю полного давления на отошедшем скачке уплотнения, образующемся при обтекании корпуса датчика сверхзвуковым потоком. По отношению  $p_0^*/p_{0 \text{ эксп}}$  оценивают число  $M$  потока, набегающего на датчик.

По осциллограммам (см. рис.3.4) определяют временные характеристики течения:  $t_{\text{в.рас.р}}^*$  - интервал времени от начала истечения газа из камеры до прихода к соплу волны разрежения, отраженной от торца камеры;  $t_{\text{нр}_0}^*$ ,  $t_{\text{нр}_0^*}$  - периоды неустаконившегося течения перед соплом и в сверхзвуковой струе;  $t_{\text{рас.р}_0}$ ,  $t_{\text{рас.р}_0^*}$  - длительности устаконившихся течений перед соплом и в сверхзвуковом потоке. Сопоставляют время  $t_{\text{в.рас.р}}^*$  с временем  $t_{\text{нр}}$  движения звуковой волны по газу от сопла к торцу камеры и обратно, а также времена  $t_{\text{нр}_0}^*$ , с  $t_{\text{нр}_0^*}$  и  $t_{\text{рас.р}_0}$  с  $t_{\text{рас.р}_0^*}$ .

Наиболее важная и трудоемкая часть работы связана с определением поля плотности в струе на основе обработки интерферограмм. Интерферограммы срисовывают на лист белой бумаги, используя негатив и фотоувеличитель или получают в виде фотоотпечатков, выполненных на контрастной матовой фотобумаге. Наиболее удобный масштаб изображения 1:1 для первой лабораторной работы и 1,5:1 - для второй. В качестве масштабных отрезков могут служить расстояния от среза сопла до датчика полного давления или до вертикальной реперной линии.

Суть методики обработки интерферограмм, полученных методом сдвига полос, состоит в том, что согласно формуле (2.11) в заданной точке поля необходимо определить изменение номера интерференционной полосы по отношению к номеру полосы в невозмущенном потоке. Невозмущенные полосы ориентированы перпендикулярно оси симметрии

рии сопла. Свободная струя представляет с точки зрения обработки интерферограмм простой объект, т.к. на интерферограмме струи имеется область невозмущенного потока с параллельными интерференционными полосами, которые нетрудно пронумеровать. Номер каждой полосы фиксирован, нумерация полос в области непрерывного течения меняется также непрерывно, интенсивных скачков уплотнения в наблюдаемом поле течения нет. Есть только две зоны, где затруднительно пронумеровать полосы. Это небольшие области волн разрежения вблизи угловых точек на срезе сопла.

Начальную частоту полос при настройке интерферометра выбирают такой, чтобы с одной стороны, частота полос на оси симметрии течения не была чрезмерной, а с другой стороны, чтобы полосы не были слишком редкими и погрешность определения плотности у среза сопла не превышала 1-2%.

Присваивают нулевой номер белой или черной полосе, прилегающей в невозмущенной области к срезу сопла. Вектор  $\text{grad } \varphi$  у среза сопла направлен навстречу потоку, так что при настройке интерферометра, соответствующей рис. 3.5, а, интерференционным полосам в невозмущенной области присваивают целые отрицательные числа и производят нумерацию полос на оси симметрии течения. В качестве контрольной точки может служить точка пересечения линии среза сопла с осью симметрии потока, где плотность газа известна из расчетов.

Второй вариант начальной настройки интерферометра приводит к интерференционным картинам с точками ветвления интерференционных полос на оси симметрии (рис. 3.5, б). Нумерация интерференционных полос и в этом случае не вызывает затруднений, если учесть, что на оси симметрии течения плотность непрерывно уменьшается от среза сопла вдоль по потоку.

При обработке интерферограмм проводят через интервал  $\Delta x$ , равный калибру сопла ( $\Delta x = 2 h$ ), 5-6 сечений, перпендикулярных оси симметрии сопла, причем первое сечение совпадает со срезом сопла. Измеряют распределение плотности в каждом сечении. Для этого отмечают точки пересечения центров интерференционных полос с прямыми, перпендикулярными оси симметрии сопла, и определяют в них изменения номеров интерференционных полос и избыточные плотности. Для первого сечения в невозмущенной области, а также при незначительном изменении плотности в сечении струи учитывают изменение номера полосы с точностью до десятых.

Заносят в таблицу для каждого сечения результаты измерений

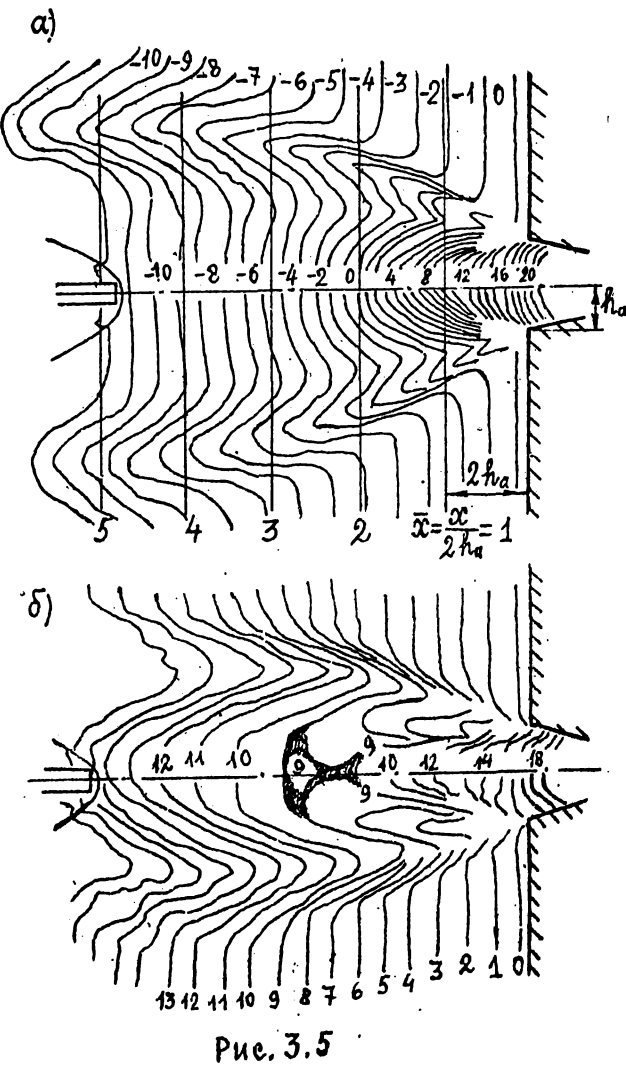


Рис. 3.5

разности  $\Delta N$  номеров полос, поперечных координат  $\chi$  точек, избыточной ( $\Delta \varphi$ ), абсолютной ( $\varphi_\infty + \Delta \varphi$ ) и относительной ( $\varphi / \varphi_a$ ) плотности.

### 3.5. Указания к составлению отчета

В отчете о лабораторной работе следует:

а) отметить цели лабораторной работы;

б) привести схему экспериментальной установки и блок-схему системы измерений стационарных и нестационарных давлений, дать краткое их описание;

в) описать метод интерферометра и оптическую схему интерферометра Маха-Цендера;

г) кратко изложить программу лабораторной работы, порядок подготовки и проведения экспериментов;

д) отметить особенности течения плоской турбулентной сверхзвуковой нерасчетной струи на начальном участке, изложить методику расчета внешней границы струи и гидродинамических переменных в струе при  $n > 1$  и  $n < 1$  (см. п. 3.2);

е) привести и обсудить осциллограммы сигналов датчиков давления перед соплом и полного давления  $p_0'$  в потоке, указать масштабы времени и амплитуды на осциллограммах;

ж) пояснить методику обработки начальных экспериментальных данных (определение действительных и эффективных параметров торможения) и методику расчета газодинамических величин на срезе сопла; результаты расчета давления  $P_{0,eff}$ , плотности  $\rho_{0,eff}$  и  $\varphi_0$ , температуры  $T_{0,eff}$  и скорости потока  $u_{a,eff}$  для каждого опыта занести в таблицу, там же привести данные измерений по осциллограммам давления  $p_0$ , давления  $p_0'$ , числа  $M_{p_0}$ , как известной функции отношения  $p_0'/p_0$  [9, с.132], а также результаты расчета  $\varphi_a$ ,  $p_a$ ,  $T_a$ ,  $u_a$  в предположении аддабатического течения и значения отношений

$P_a$        $\varphi_a$        $T_a$        $u_a$   
 $\frac{P_{0,eff}}{P_a} \cdot \frac{\varphi_a}{\varphi_{0,eff}} \cdot \frac{T_a}{T_{0,eff}} \cdot \frac{u_a}{u_{a,eff}}$ , характеризующие достоверность поправки к показаниям манометра, учитывающей волну разрежения в камере;

з) приложить зарисовки интерферограмм течений или фотографии течений в масштабе 1:1, отметив на них 5-6 пронумерованных сечений, проведенных перпендикулярно оси симметрии сопла с интервалом  $\Delta x = 2h$ , а также пометив номера интерференционных полос в невозмущенном потоке и на оси симметрии сопла (см.рис.3.5), масштабная метка - расстояние между двумя вертикальными линиями, равное 70 мм;

и) привести таблицу с результатами обработки интерферограмм по сечениям, перпендикулярным оси симметрии сопла для каждого из опытов с различными параметрами нерасчетности  $\pi$ ;

к) данные таблицы представить в графической форме; для каждого из опытов привести на единой координатной плоскости серию кривых в координатах  $\rho/\rho_a$ ,  $y/h_a$ , указав для каждой кривой номер сечения, для всей серии номер опыта, параметр нерасчетности  $\pi$  и измеренную на оси симметрии в сечении среза сопла плотность  $\rho_a$ ;

л) представить в графической форме в координатах  $\rho/\rho_a$ ,  $x/2h_a$  данные об изменении плотности вдоль оси симметрии сопла, сопоставив экспериментальные данные с результатами расчетов течения по методике, изложенной в п.3.2, и расчетов течения от линейного источника, помещенного в геометрическую вершину клиновидного сопла; для экспериментальных точек и расчетных кривых указать соответствующие значения параметра  $\pi$  и значения плотности  $\rho_a$  в центре сечения выхода сопла;

м) представить в графической форме в координатах  $M/M_a$ ,  $x/2h_a$  расчетные и экспериментальные данные об изменении числа  $M$  вдоль оси симметрии сопла способом, аналогичным принятому для плотности; отметить число  $M$  потока, найденное по показаниям датчика  $p_0$ ; на оси ординат отметить значения скоростного коэффициента  $\lambda = u/a$  для чисел  $M$ , кратных 0,5; указать значение критической скорости звука  $a_a$ ;

н) для каждого из опытов представить результаты определения секундного массового расхода  $m$  в сечении с координатой  $\bar{x}=2$  по профилям плотности  $\rho$  и  $\lambda$ , сопоставить найденное значение  $m$  со значением на срезе сопла;

о) рассчитать число Рейнольдса  $Re_L = \frac{Re_a}{\pi} = \frac{\rho_a u_a h_a}{\mu_a \pi}$  и оценить состояние свободного пограничного слоя смешения по критериям, приведенным в п.3.1;

п) сформулировать выводы о работе, сопоставляя экспериментальные данные с результатами расчетов, анализируя поля плотности и влияние параметра нерасчетности  $\pi$  на течение в струе.

При оформлении отчета следует дать комментарии к расчетным формулам и рисункам, поясняющие введенные обозначения и назначение формул и рисунков, аккуратно сформатировать графики: выполнить их простым карандашом на листах миллиметровой бумаги размером 210x297 мм, отчетливо проставить экспериментальные точки (использовать

разные символы: кружки, треугольники, крестики и т.д.).

Отчет о лабораторной работе следует оформлять согласно требованиям СТП СПОГТУ 1.01-91 "Документы текстовые учебные. Общие требования, структура и правила оформления".

#### 4. ЛАБОРАТОРНАЯ РАБОТА 2. ИССЛЕДОВАНИЕ ОТРЫВНОГО ТЕЧЕНИЯ ЗА УСТУПОМ В СВЕРХЗВУКОВОМ ПОТОКЕ

Цель работы - освоить практический метод интерферометра; приобрести знания структуры и основных свойств отрывных донных течений; освоить методику расчета отрывных течений, основанную на модели разделяющей линии тока; научиться экспериментальным методам создания и исследования сверхзвуковых отрывных течений.

##### 4.1. Особенности отрывного течения за уступом (в донной области)

Исследуют методом интерферометра отрывное течение за срезом клиновидного сверхзвукового сопла Лаваля в угловой области, образованной вертикальной стенкой и горизонтальной плоскостью. На рис.4.1 приведена схема течения в угловой (донной) области.

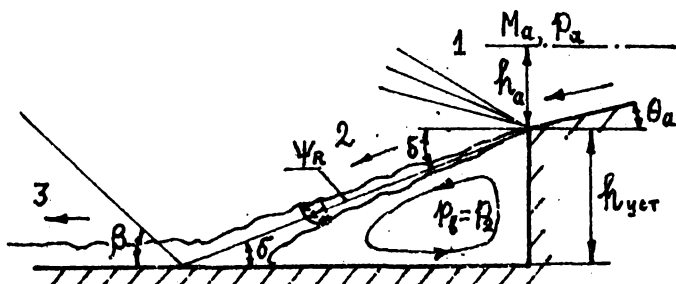


Рис. 4.1

Течение выше оси симметрии сопла не отличается от описанного в лабораторной работе I. Течение в нижней части за уступом высотой  $h_{уст}$  заметно отличается от свободного струйного течения. За нижней кромкой сопла с углом полураскрытия  $\theta_a$  давление понижается в центрированной волне разрежения. Поток отклоняется от своего первоначального направления вниз к горизонтальной поверхности,

встречается с ней и движется вдоль этой поверхности. Свободный пограничный слой (слой смешения), формирующийся за нижней кромкой сопла, встречается с горизонтальной поверхностью и становится пристенным пограничным слоем. Вторичное изменение направления потока у стенки приводит при ламинарном течении в слое смешения к образованию волны сжатия, а при турбулентном - косого скачка уплотнения. Ниже слоя смешения существует треугольная область, в которой газ, вовлеченный в движение внешним потоком, циркулирует с небольшой дозвуковой скоростью. Изменение давления в этой области по любому направлению невелико. Давление поперек слоя смешения считают неизменным. Введем для треугольной области осредненное давление и назовем его давлением  $p_1$  в донной области (донным давлением,  $p_1 = p_2$ ).

#### 4.2. Расчет давления в донной области

Задача об определении давления в донной области за уступом на основе модели идеального газа не имеет однозначного решения: для любого давления в донной области, меньшего давления на срезе сопла, и для соответствующего положения точки встречи отклоненного потока с нижней стенкой можно подобрать угол  $\beta$  наклона косого скачка уплотнения такой, что поток за скачком будет направлен вдоль нижней стенки (см. рис.4.1). Однозначное решение задачи об определении донного давления можно получить, если учесть вязкие эффекты в слое смешения, в донной области и в области взаимодействия слоя смешения с нижней стенкой.

В расчетах отрывных течений широкое распространение получило метод разделяющей линии тока, примененный для ламинарных течений Чепменом, а для турбулентных - Корстом [III], [12]. Согласно этому методу, существует в слое смешения линия тока  $\Psi_R$ , отделяющая циркуляционное течение с малой дозвуковой скоростью в донной области от внешнего сверхзвукового течения. Считают, что при установившемся движении в донной области циркулирует неизменная масса газа. Эта схема заменяет действительную картину течения, когда масса газа, эjectированного из донной области в слой смешения, равна массе газа, движущегося из области присоединения слоя смешения к твердой стенке в донную область. Связывая определенным образом полное давление  $P_{\text{on}}$  на разделяющей линии тока с давлением  $p_3$  за косым скачком уплотнения, получают однозначное значение донного давления. Метод разделяющей линии тока позволяет учесть вдув газа в донную область, а также конечную толщину пограничного слоя на кромке сопла.

Для практического использования метода разделяющей линии тока воспользуемся результатами решения задачи о турбулентном течении сжимаемого газа в слое смешения с учетом теплообмена [13]. Отметим, что течение в слое смешения на основе оценок, приведенных в п.3.1 с учетом начальных параметров газа в установке (см. п.1), можно считать турбулентным.

Результаты решения для слоя смешения представлены в табл. I [13], где приведены значения относительной скорости  $\bar{U}_r = \frac{U_r}{U_2}$  на разделяющей линии тока как функции числа  $M_2$  на внешней границе слоя смешения и отношения  $\bar{H}_b = \frac{H_{ob}}{H_2}$  полной энталпии  $H_{ob}$  газа в донной области к полной энталпии потока в области 2.

Т а б л и ц а I

$\bar{H}_b$	$M_2$			
	0	2	4	6
1	0,5906	0,6142	0,6515	0,6840
0,8	0,5828	0,6072	0,6455	0,6796
0,6	0,5734	0,5983	0,6381	0,6736
0,4	0,5609	0,5866	0,6278	0,6654
0,2	0,5425	0,5689	0,6124	0,6525
0,1	0,5286	0,5554	0,6003	0,6422

Расчет донного давления выполняют без учета пограничного слоя на стеке сопла, т.к. отношение толщины пограничного слоя на стенке сопла, имеющего образующую длиной менее 3 см, к уступу глубиной  $h_{уст} = 1,3$  см много меньше единицы ( $b_s/h_{уст} << 1$ ).

Исходными данными для расчета донного давления  $p_d$  являются давление  $p_a$  на срезе сопла, число  $M_2$  потока, угол  $\Theta_a$  наклона стенки сопла, относительная полная энталпия  $H_{ob} = H_{ob}/H_{ob}$ , определяющая теплообмен в донной области, и отношение удельных теплоемкостей  $k = c_p/c_v$ . Величины  $\Theta_a$ ,  $M_2$ , к известны (см.п.1), величины  $p_a$  и  $H_{ob}$  находят в результате обработки экспериментальных данных (п.4.4).

Небходимо найти угол  $\theta$  наклона разделяющей линии тока такой, чтобы полное давление  $p_{rd}$  на разделяющей линии тока равнялось оп-

разделенной части  $p_3$ . Эту часть задают параметром Нэша  $N = \frac{p_{0a} - p_a}{p_3 - p_a}$ .  
Принимают  $N=0,35$ . Корст [III] полагал  $p_{0a}=p_3$ ,  $N=1$ . Удобнее задавать в расчетах вместо числа  $M_2$  число  $M_2$  потока и методом последовательных приближений подбирать значения  $M_2$  и угла  $\delta$ , удовлетворяющие вышеотмеченным условиям для давлений  $p_{0a}$  и  $p_3$ .

Последовательность расчета донного давления  $p_a$  такова:

I. по выбранным значениям  $M_2$  и  $H_{0a}$  определяют относительную скорость  $U_a$ ;

2. из интеграла Крокко [9, с. 769] находят относительную плотность  $\bar{\rho}_a$ , число  $M_a$  и полное давление  $p_{0a}$  на разделяющей линии тока по формулам

$$\bar{\rho}_a = \frac{\rho_a}{\rho_2} = \left[ 1 - C_2^2 \right] \left[ H_{0a} + (I - H_{0a}) U_a - C_2^2 U_a \right]^{-1}, \quad (4.1)$$

$$C_2 = \frac{\frac{k-1}{2} M_2^2}{1 + \frac{k-1}{2} M_2^2}$$

где

$$C_2 = \frac{\frac{k-1}{2} M_2^2}{1 + \frac{k-1}{2} M_2^2} - \text{число Крокко,}$$

$$M_a = U_a M_2 \sqrt{\bar{\rho}_a}, \quad (4.2)$$

$$p_{0a} = p_a \left( 1 + \frac{\frac{k-1}{2} M_a^2}{1 + \frac{k-1}{2} M_a^2} \right)^{\frac{k-1}{k}}; \quad (4.3)$$

3. разрешив соотношение, определяющее параметр  $N$ , относительно давления за косым скачком уплотнения, вычисляют  $p_3$

$$p_3 = p_a \left[ 1 + \frac{1}{N} \left( \frac{p_{0a}}{p_a} - 1 \right) \right]; \quad (4.4)$$

4. вычисляют угол  $\delta$  по формуле

$$\operatorname{tg}^2 \delta = \left( \frac{\xi - 1}{\xi M_2^2 - \xi + 1} \right)^2 \frac{2M_2^2 - (k-1) - (k+1)\xi}{(k+1)\xi + (k-1)}. \quad (4.5)$$

где  $\xi = p_3/p_a$ ;

5. рассчитывают число  $M_a$  из уравнения

$$\sqrt{M_a^2 - 1} = \sqrt{\frac{k+1}{k-1}} \operatorname{tg} \left( \sqrt{\frac{k-1}{k+1}} (\operatorname{arctg} \sqrt{M_a^2 - 1} + \delta(M_2) - \delta_a + \theta_a) \right), \quad (4.6)$$

$$\text{где } \delta(M_2) = \sqrt{\frac{k+1}{k-1}} \operatorname{arctg} \sqrt{\frac{k-1}{k+1} (M_2^2 - 1)} - \operatorname{arctg} \sqrt{M_2^2 - 1}.$$

Сопоставляя известное значение числа  $M_a$  с рассчитанным, уточняют число  $M_2$ , повторяют расчетную процедуру и добиваются совпадения заданного и найденного из расчетов значений числа  $M_a$  до трех значащих цифр.

6. находят донное давление  $p_b$  по изэнтропической формуле

$$\frac{p_b}{p_a} = \left( \frac{1 + \frac{k-1}{2} M_a^2}{1 + \frac{k-1}{2} M_2^2} \right)^{\frac{k}{k-1}} \quad (4.7)$$

#### 4.3. Правила подготовки к работе и программа

##### экспериментов

Работу выполняют на импульсной газодинамической установке, описанной в п.1. Рабочая область между оптическими стеклами за срезом сопла Лаваля II (см.рис.1.2) отличается от исследуемой в работе I тем, что к нижней вертикальной стенке прижимают болтами брускок прямоугольного поперечного сечения высотой 70 мм, равной расстоянию между оптическими стеклами. Брускок образует уступ за срезом сопла высотой  $h_{уст} = 13$  мм (см. рис.4.1). Размер (ширина) бруска в направлении движения потока 50 мм. Ширина бруска должна существенно превышать длину донной области, чтобы влияние течения разрежения за ребром бруска на течение в донной области было незначительным.

На расстоянии 7 мм от вертикальной стенки в среднем сечении бруска установлен заподлицо с горизонтальной поверхностью пьезодатчик, измеряющий давление в донной области.

Правила подготовки к работе и программа экспериментов не отличаются от приведенных в п.3.3.

#### 4.4. Методика обработки экспериментальных данных

Первичные экспериментальные материалы те же, что и в работе I (см.п.3.4). Вместо осцилограммы сигнала пьезодатчика полного давления обрабатывают осцилограмму сигнала датчика, измеряющего донное давление  $p_b$ .

В зависимости от начального давления  $p_a$  в рецизиве донное давление может быть больше или меньше начального. Донное давление рассчитывают по формуле (3.10) с учетом знака амплитуды сигнала пьезодатчика, имеющего известную чувствительность  $K_{док}$ .

Давление  $p_{0,exp}$  перед соплом измеряют и сопоставляют с расчетным давлением  $p_{0,ref}$ , как и в лабораторной работе I. Правила определения временных характеристик течения также не отличаются от

принятых в лабораторной работе I.

Методика обработки интерферограмм та же, что и в лабораторной работе I. Нумеруют целыми числами полосы в области невозмущенного течения (рис.4.2). Нумеруют интерференционные полосы на оси симметрии сопла Лаваля с учетом нумерации полос в невозмущенной области. Прослеживают ход интерференционных полос и нумеруют их в слое смешения и в донной области, учитывая непрерывность течения в слое смешения. По изменению номера интерференционной полосы в заданной точке определяют в этой точке плотность по формуле (2.II) с учетом начальной плотности воздуха в ресивере. Изменение номера полосы определяют с точностью до десятых.

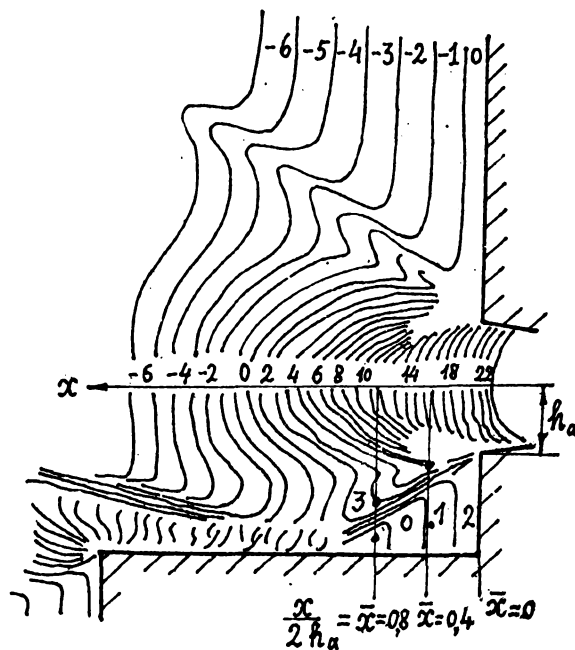


Рис.4.2

Измеряют плотность на оси симметрии и в донной области в сечении среза сопла, а также в характерных точках вертикальных сечений, отстоящих от среза сопла на расстояниях  $\bar{x}_i = \frac{x_i}{2h_a} = 0,4$ .

$\bar{x}_2=0,8$ : на оси симметрии сопла, на внешней границе слоя смешения и в донной области. Зная плотность, рассчитывают по изэнтропическим формулам [9, С. II0-II1] давление и число  $M$  в потенциальном потоке.

Измеряют плотность  $\rho_1$  перед и  $\rho_2$  за косым скачком уплотнения в точке пересечения его с осью симметрии сопла. Зная отношение  $\rho_2/\rho_1$ , рассчитывают угол  $\beta$  косого скачка уплотнения по формуле [9, с. 240]

$$\beta = \arcsin \left[ M_1^2 \left( \frac{k+1}{2} \frac{\rho_1}{\rho_2} - \frac{k-1}{2} \right) \right]^{-1/2} . \quad (4.8)$$

где число  $M_1$  потока находят по измеренной плотности  $\rho_1$ . Сопоставляют рассчитанный угол  $\beta_{\text{расч}}$  с измеренным углом  $\beta_{\text{эксп}}$  между осью симметрии сопла и касательной к скачку уплотнения в вышеуказанной точке.

Для каждого опыта заносят в таблицу результаты измерений номеров интерференциальных полос, избыточной ( $\Delta \rho$ ), абсолютной ( $\rho_\infty + \Delta \rho$ ) и относительной плотности  $\left( \frac{\rho_\infty + \Delta \rho}{\rho_\infty} \right)$  в характерных точках потока, относительного давления  $\frac{p}{p_a} = \left( \frac{\rho_\infty + \Delta \rho}{\rho_\infty} \right)^k$  и числа  $M$  в потенциальном поле, амплитуды сигналов пьезодатчиков, избыточные ( $\Delta p_o$  и  $\Delta p_s$ ), абсолютные ( $\rho_\infty + \Delta p_o$ ,  $\rho_\infty + \Delta p_s$ ) и относительные давления  $\left( \frac{\rho_\infty + \Delta p_o}{p_{\text{атм}} + p_{\text{ман}}} \cdot \frac{\rho_\infty + \Delta p_s}{p_a} \right)$  перед соплом и в донной области, а также избыточные давления  $p_{\text{ман}}$  в камере.

По измеренным среднему давлению  $p_a$  и средней плотности  $\rho_a = 0.5(\rho_{o_{x1}} + \rho_{o_{x2}})$  в донной области рассчитывают и записывают в таблицу относительную энталпию торможения  $\frac{H_{O_B}}{H_{\text{эксп}}} = \frac{T_{O_B}}{T_{\text{эксп}}} = \frac{p_a}{p_{\text{ман}}} \cdot \frac{\rho_{o_{\text{эксп}}}}{\rho_a}$ , где  $\rho_{o_{\text{эксп}}}$  – измеренное пьезодатчиком полное давление перед соплом,  $\rho_{o_{\text{эксп}}}$  – плотность, рассчитанная по уравнению адиабаты с учетом давления  $p_{\text{ман}}$ , измеренного манометром и давления  $p_{\text{эксп}}$ . Отмечают в таблице параметр нерасчетности  $n = p_a/p_\infty$  свободной струи.

#### 4.5. Указания к составлению отчета

При составлении отчета следует руководствоваться указаниями, приведенными в п. 3.5, с некоторыми поправками, обусловленными

изменением объекта исследования. Пункты а)-г), н), а также заключительные требования к составлению отчета принимают без изменений. Изменения в других пунктах указаний следующие;

д) вместо свободного струйного течения обсудить особенности отрывного течения и изложить методику расчета донного давления;

е), ж) полное давление  $p_0'$  в потоке заменить на донное давление  $p_b$ ;

з) изготовить рисунки или фотоотпечатки интерферограмм в увеличенном масштабе 1,5:1 так, чтобы на них четко фиксировались донная область и область невозмущенного потока; вместо 5-6 сечений провести 2 сечения и отметить на них характерные точки (см.п.4.4), измерить углы  $\delta$  и  $\beta$  (см.рис.4.1) на интерферограммах;

и) рассчитать (см п.4.3) для каждого опыта донное давление  $p_b$  при известных значениях параметров  $p_a$ ,  $M_a = 2,03$ ,  $H_{0a} = T_{0a}/T_{0\text{эксп}}$ , при двух значениях угла  $\theta_a = 10^\circ$ ,  $\theta_a = 0^\circ$ ; рассчитать  $\theta_{a\text{расч}}$  из условия  $p_b \text{расч} = p_b \text{эксп}$ ;

к) рассчитать давление  $p_2 = p_b$  на внешней границе слоя смешения по измеренной в сечениях  $\bar{x}_1 = 0,4$  и  $\bar{x}_2 = 0,8$  плотности; результаты расчетов и результаты сопоставлений расчетных данных для давлений и углов  $\delta$  и  $\beta$  привести в таблице;

л) сформулировать выводы, сопоставляя экспериментальные данные с результатами расчетов, анализируя влияние параметра  $H_{0a}$ , а также параметра  $\mu$  на геометрические и газодинамические характеристики донной области; объяснить причины изменения параметра  $H_{0a}$  при неизменных начальных температурных параметрах; оценить влияние пограничного слоя на стенках сопла на донное давление.

Пункты м), о) следует исключить.

## СПИСОК ЛИТЕРАТУРЫ

1. ВАСИЛЬЕВ Л.М. Теневые методы. М : Физматгиз , 1968 .
2. СКОТНИКОВ М.М. Теневые количественные методы в газовой динамике. М: Физматгиз, 1976.
3. Оптические методы исследований в баллистическом эксперименте: Сб. статей /Под ред. Г.И.Мишина. Наука, 1979.
4. ЗАХАРЬЕВСКИЙ А.Н. Элементы общей теории интерферометров: Сб. статей, № 1 ЛИТМО, вып.2. М-Л:ГОСНИТИ машиностр. литер., 1947.
5. ДУЛОВ В.Г., ЛУКЬЯНОВ Г.А. Газодинамика процессов истечения. Новосибирск: Наука: СО, 1984..
6. АВДУЛЕВСКИЙ В.С. и др. Газодинамика сверхзвуковых неизобарических струй. М: Машиностроение, 1989.
7. АКАТНОВ Н.И. и др. Свободные струйные течения. Метод. указания к лабораторным работам. Л: Изд. ЛГТУ, 1991.
8. АБРАМОВИЧ Г.Н. Прикладная газовая динамика. М:Физматгиз, 1976.
9. ЛОЙЦЯНСКИЙ Л.Г. Механика жидкости и газа. М:Физматгиз, 1987.
10. ДРИФТМАЙЕР. Корреляция параметров свободных струй // Ракетн. техн. косм. 1972. №8. т.10. С.159-160.
11. КОРСТ Г. Теория определения донного давления в дозвуковом и сверхзвуковом потоках//Механика. №5. 1957.
12. ШВЕЦ А.И., ШВЕЦ И.Т. Газодинамика ближнего следа. Киев: Наукова думка, 1976.
13. ЮРЧЕНКО К.Е. О выборе гипотезы турбулентности в теории донного давления// Изв. АН СССР. Мех. жидк. и газа. 1968. №6. С.46-49.

## СОДЕРЖАНИЕ

ВВЕДЕНИЕ.....	3
1. ОПИСАНИЕ ЭКСПЕРИМЕНТАЛЬНОЙ УСТАНОВКИ, ПОРЯДОК РАБОТЫ НА УСТАНОВКЕ, ПРОГРАММА ЭКСПЕРИМЕНТА.....	3
2. МЕТОД ИНТЕРФЕРОМЕТРА.....	8
3. ЛАБОРАТОРНАЯ РАБОТА 1. ИССЛЕДОВАНИЕ НАЧАЛЬНОГО УЧАСТКА ПЛОСКОЙ НЕРАСЧЕТНОЙ СВОБОДНОЙ СВЕРХЗВУКОВОЙ СТРУИ.....	14
3.1. Особенности сверхзвуковых струйных течений.....	14
3.2. Расчет начального участка сверхзвуковой струи идеального газа.....	17
3.3. Правила подготовки к работе и программа экс- периментов.....	21
3.4. Методика обработки экспериментальных данных.....	21
3.5. Указания к составлению отчета.....	26
4. ЛАБОРАТОРНАЯ РАБОТА 2. ИССЛЕДОВАНИЕ ОТРЫВНОГО ТЕЧЕНИЯ ЗА УСТУПОМ В СВЕРХЗВУКОВОМ ПОТОКЕ .....	29
4.1. Особенности отрывного течения за уступом (в донной области).....	29
4.2. Расчет давления в донной области.....	30
4.3. Правила подготовки к работе и программа экс- периментов.....	33
4.4. Методика обработки экспериментальных данных.....	33
4.5. Указания к составлению отчета.....	35
СПИСОК ЛИТЕРАТУРЫ.....	37

ГАЗОВАЯ ДИНАМИКА  
Метод интерферометра

Методические указания  
к лабораторным работам

Составители: Григорьев Василий Васильевич  
Исаков Сергей Николаевич  
Петров Руслан Леонидович

Редактор О.Е.Новожилова

Лицензия ЛР № 020593 от 09.07.92.

---

Подписано в печать 10.07.92. формат 60x84/16. Бумага тип. № 3.  
Печать офсетная. Усл. печ. л. 2,5. Уч.-изд.л. 2,5. Тираж 100.  
Заказ №77. С19.

---

Санкт-Петербургский государственный технический университет.  
Издательско-полиграфический центр СПбГТУ.

Адрес университета и ИПЦ: 195251, Санкт-Петербург, Политехническая, 29